



**UNIVERSIDADE DE SÃO PAULO
ESCOLA DE ENGENHARIA DE SÃO CARLOS**

PROJETO FINAL

Desenvolvimento da Modelagem, Simulação e Projeto Mecânico de um
manipulador robótico

Amanda Hellen Venâncio Reis – 13679287

Gabriel Calori Badini – 12676063

Gabrielle de Moura Pereira – 13828178

João Augusto Costa Perino – 13678967

DOCENTE:

Prof. Dr. Marcelo Becker

São Carlos - SP

Dezembro de 2025

SUMÁRIO

1	INTRODUÇÃO GERAL	4
2	FUNCIONAMENTO DO MANIPULADOR	5
3	DESENVOLVIMENTO DO PROJETO	8
3.1	Modelagem matemática	8
3.1.1	Cinemática direta.....	8
3.1.2	Cinemática inversa	9
3.1.3	Jacobiano	10
3.1.4	Dinâmica	13
3.2	Projeto mecânico (CAD)	16
3.3	Simulação computacional	17
4	CONCLUSÃO	21
5	REFERÊNCIAS BIBLIOGRÁFICAS	22

LISTA DE FIGURAS

Figura 1: Identidade visual do manipulador.....	5
Figura 2: Croqui do robô.	6
Figura 3: Exemplo de robô que realiza limpeza de painéis solares.....	7
Figura 4: Cinemática direta final obtida para o manipulador.....	9
Figura 5: Cinemática inversa final obtida para o manipulador.	10
Figura 6: Encontrando o Jacobiano.....	12
Figura 7: Jacobiano final obtido para o manipulador.....	12
Figura 8: Posições e velocidades do link 1.....	14
Figura 9: Posições e velocidades do link 2.....	15
Figura 10: Posições e velocidades do link 3.....	15
Figura 11: Encontrando a matriz de inércia.	15
Figura 12: Matriz de inércia.	16
Figura 13: Forças e torques finais.	16
Figura 14: Imagem 1 do CAD do manipulador.....	17
Figura 15: Imagem 2 do CAD do manipulador.....	17
Figura 16: Perfis de posição, velocidade, aceleração e torque/força das juntas da cinemática direta até a posição [20° 20° 0.4].	19
Figura 17: Perfis de posição, velocidade, aceleração e torque/força das juntas da cinemática inversa até a posição [0.4 0.4 -0,4].....	19
Figura 18: Perfis de posição, velocidade, aceleração e torque/força das juntas da trajetória de escovação.....	20

1 INTRODUÇÃO GERAL

Este relatório apresenta o desenvolvimento de um manipulador robótico, abrangendo seu funcionamento, modelagem matemática, simulação computacional e projeto mecânico. O objetivo central é aplicar os conceitos estudados na disciplina de Dinâmica de Sistemas Robóticos.

O processo de desenvolvimento iniciou-se pela definição da configuração do manipulador, incluindo seus graus de liberdade (previamente estabelecidos pela orientação da disciplina) e o tipo de movimento desejado. A partir dessas decisões, foi elaborada a modelagem cinemática e dinâmica capaz de descrever o comportamento do robô e prever sua resposta frente a diferentes comandos. As simulações computacionais, por sua vez, possibilitaram validar esse comportamento, identificar ajustes necessários e analisar o desempenho do sistema em distintos cenários de operação.

Paralelamente, desenvolveu-se o projeto mecânico em ambiente CAD, assegurando que a estrutura concebida refletisse as características determinadas pela modelagem e atendesse às exigências funcionais do manipulador.

Ao longo do relatório, são detalhados os principais aspectos envolvidos no desenvolvimento do manipulador robótico, desde sua concepção até a validação de seu comportamento.

2 FUNCIONAMENTO DO MANIPULADOR

O manipulador desenvolvido recebeu o nome SOLVER, uma combinação de “Solar” e “Rover”, representando a integração entre o sistema de limpeza e o veículo móvel responsável pela locomoção. O nome também remete ao verbo em inglês “to solve”, reforçando a ideia de solução. A identidade visual do projeto inclui um logotipo que combina elementos que representam o robô utilizado e painéis solares.



Figura 1: Identidade visual do manipulador.

O manipulador SOLVER atua em conjunto com o rover no processo de limpeza de painéis solares, sendo responsável por posicionar e movimentar a escova que remove poeira, areia e outros resíduos da superfície. Sua função principal é manter a escova na posição adequada durante a limpeza, ajustando continuamente a orientação e a distância em relação aos módulos solares. Dessa forma, o manipulador realiza os ajustes finos necessários ao longo do percurso do robô.

A configuração adotada para o manipulador consiste em três graus de liberdade, distribuídos em duas juntas rotacionais e uma junta prismática. A primeira junta, na base, gera a rotação horizontal do conjunto, orientando o manipulador em direção ao painel. A segunda junta, também rotacional, faz o mesmo movimento que a primeira, porém permitindo ajustes mais finos. A junta prismática, localizada no segmento final, controla o movimento linear de aproximação e afastamento da escova, permitindo ajustar a distância entre o end-effector e o painel conforme necessário. A movimentação dessas três juntas é coordenada para posicionar a escova antes e durante o processo de limpeza.

O end-effector consiste em uma escova rotativa montada na extremidade do braço. Essa escova possui cerdas macias para evitar danos à superfície dos módulos solares, que são suscetíveis a arranhões e impactos. A função do end-effector é realizar a limpeza

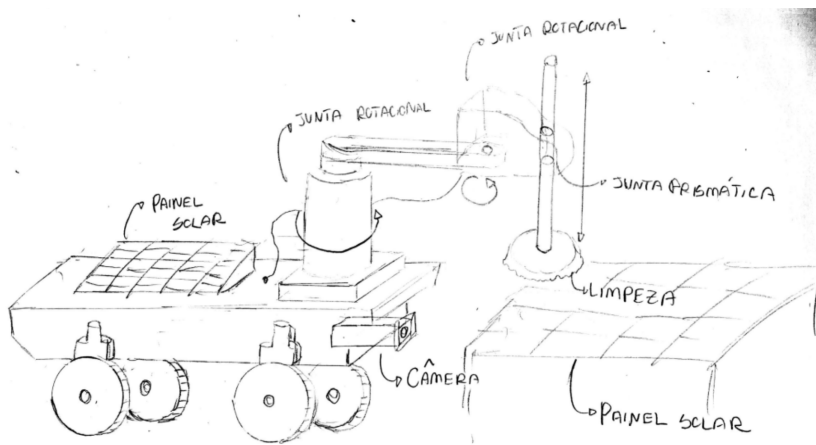


Figura 2: Croqui do robô.

ativa da superfície por meio da rotação contínua da escova, acionada por um motor independente instalado no conjunto final.

A velocidade de rotação da escova pode ser ajustada pelo sistema de controle, permitindo adaptar o processo de limpeza a diferentes condições de acúmulo de sujeira. A posição do end-effector, alinhada com a junta prismática, permite controlar a força de contato com o painel por meio da variação da distância, o que é essencial para evitar desgaste desnecessário tanto da escova quanto da superfície do painel.

A operação tem início com a aproximação do rover à fileira de painéis solares. O alinhamento é realizado com auxílio de GPS, sensores LIDAR ou ultrassônicos, que garantem o posicionamento correto em relação ao painel.

Durante o deslocamento, o manipulador realiza apenas pequenos ajustes verticais e de profundidade para manter o contato e compensar variações de altura ou inclinação entre os módulos. Quando o rover completa uma fileira, pode realizar um reposicionamento lateral para iniciar a limpeza da faixa seguinte, repetindo o procedimento até cobrir toda a área planejada. Sensores e câmeras auxiliam na detecção de obstáculos, no alinhamento e na avaliação da sujeira ao longo da operação.



Figura 3: Exemplo de robô que realiza limpeza de painéis solares.

A integração com os demais sistemas do rover ocorre por meio da eletrônica embarcada e do software de controle. O controlador central processa as informações dos sensores, calcula os ajustes necessários nas juntas e coordena o acionamento da escova. Os drivers enviam comandos para cada motor, enquanto o sistema de navegação gerencia a locomoção do robô. Essa integração garante que o processo de limpeza seja executado de forma contínua e sincronizada.

3 DESENVOLVIMENTO DO PROJETO

3.1 Modelagem matemática

3.1.1 Cinemática direta

A cinemática direta descreve a posição e a orientação do end-effector em função das variáveis articulares do manipulador. Dado um conjunto de ângulos e deslocamentos das juntas, a cinemática direta permite determinar a configuração do end-effector no espaço cartesiano. Esse procedimento, posteriormente, será utilizado na determinação do Jacobiano, da cinemática inversa e na formulação da dinâmica do manipulador.

Para a formulação da cinemática direta é aplicado o método de Denavit–Hartenberg (DH). Nesse método, cada elo é representado por uma matriz de transformação homogênea ${}^{i-1}A_i$, que relaciona o sistema de coordenadas do elo i com o do elo anterior. Cada matriz é descrita por quatro parâmetros: a_i , α_i , d_i e θ_i .

A matriz de transformação homogênea geral é dada por:

$${}^{i-1}A_i = \begin{bmatrix} \cos \theta_i & -\sin \theta_i \cos \alpha_i & \sin \theta_i \sin \alpha_i & a_i \cos \theta_i \\ \sin \theta_i & \cos \theta_i \cos \alpha_i & -\cos \theta_i \sin \alpha_i & a_i \sin \theta_i \\ 0 & \sin \alpha_i & \cos \alpha_i & d_i \\ 0 & 0 & 0 & 1 \end{bmatrix}$$

Para um manipulador com n juntas, a transformação do sistema da base até o end-effector é obtida pela multiplicação sequencial das matrizes:

$${}^0A_n = {}^0A_1 \oplus {}^1A_2 \oplus \cdots \oplus {}^{n-1}A_n$$

A matriz completa contém simultaneamente a posição e a orientação do end-effector:

$$P_n = \begin{bmatrix} P_x \\ P_y \\ P_z \end{bmatrix}, \quad R_n = \begin{bmatrix} n_x & s_x & a_x \\ n_y & s_y & a_y \\ n_z & s_z & a_z \end{bmatrix}$$

No manipulador SOLVER, os parâmetros de Denavit–Hartenberg são definidos de forma a representar sua geometria, permitindo construir as matrizes ${}^{i-1}A_i$ correspondentes a cada elo. A multiplicação dessas matrizes fornece a transformação completa 0A_3 .

Link	a_i	α_i	d_i	θ_i
1	l_1	0	0	θ_1
2	l_2	π	0	θ_2
3	0	0	d_3	0

$${}^0 A_1 = \begin{bmatrix} c_1 & -s_1 & 0 & l_1 c_1 \\ s_1 & c_1 & 0 & l_1 s_1 \\ 0 & 0 & 1 & 0 \\ 0 & 0 & 0 & 1 \end{bmatrix} \quad {}^1 A_2 = \begin{bmatrix} c_2 & s_2 & 0 & l_2 c_2 \\ s_2 & -c_2 & 0 & l_2 s_2 \\ 0 & 0 & -1 & 0 \\ 0 & 0 & 0 & 1 \end{bmatrix}$$

$${}^2 A_3 = \begin{bmatrix} 1 & 0 & 0 & 0 \\ 0 & 1 & 0 & 0 \\ 0 & 0 & 1 & d_3 \\ 0 & 0 & 0 & 0 \end{bmatrix}$$

$${}^0 A_3 = \begin{bmatrix} c_1 c_2 - s_1 s_2 & s_1 c_2 + s_2 c_1 & 0 & l_1 (c_1 c_2 - s_1 s_2) + l_2 c_1 \\ s_1 c_2 + s_2 c_1 & s_1 s_2 - c_1 c_2 & 0 & l_1 (s_1 c_2 + s_2 c_1) + l_2 s_1 \\ 0 & 0 & -1 & -d_3 \\ 0 & 0 & 0 & 1 \end{bmatrix}$$

$$P = \begin{bmatrix} l_2 (c_1 c_2 - s_1 s_2) + l_1 c_1 \\ l_2 (s_1 c_2 + s_2 c_1) + l_1 s_1 \\ -d_3 \end{bmatrix}$$

$$\Psi_{per} = \begin{bmatrix} \alpha \\ \beta \\ \gamma \end{bmatrix} \quad \alpha = \tan^{-1}\left(\frac{m_y}{m_x}\right) = \tan^{-1}\left(\frac{s_1 c_2 + s_2 c_1}{c_1 c_2 - s_1 s_2}\right) \quad \beta = \sin^{-1}(m_z) = \sin^{-1}(0) = 0 \text{ ou } \pi \quad \gamma = \tan^{-1}\left(\frac{m_x}{m_y}\right) = \tan^{-1}(0) = 0 \text{ ou } \pi$$

Figura 4: Cinemática direta final obtida para o manipulador.

3.1.2 Cinemática inversa

A cinemática inversa tem como objetivo determinar as variáveis articulares $q = [\theta_1, \theta_2, d_3]^T$ necessárias para que o manipulador alcance uma posição cartesiana desejada $P_n = [P_x, P_y, P_z]^T$. Para isso, parte-se da expressão já conhecida da cinemática direta, construída como a composição das transformações homogêneas das juntas:

$${}^0 A_3 = {}^0 A_1 \oplus {}^1 A_2 \oplus {}^2 A_3$$

A estratégia consiste em inverter essa relação de forma sequencial, isolando cada matriz correspondente a uma junta. Esse procedimento é realizado multiplicando-se a expressão por inversas apropriadas, de modo a eliminar gradualmente as transformações correspondentes às juntas internas.

Por exemplo, ao multiplicar a expressão à esquerda por $({}^0 A_1)^{-1}$, remove-se a contribuição do primeiro elo:

$$({}^0 A_1)^{-1} {}^0 A_3 = {}^1 A_2 \oplus {}^2 A_3$$

Isso ocorre porque:

$$({}^0 A_1)^{-1} {}^0 A_1 = I$$

O mesmo raciocínio pode ser aplicado novamente, utilizando a inversa de ${}^1 A_2$, e assim sucessivamente. Esse processo de cancelamento progressivo permite isolar cada transformação ${}^i A_{i+1}$ e, portanto, cada variável articular associada. Dessa forma, obtém-se as expressões que relacionam diretamente a pose desejada ${}^0 A_3$ aos valores das juntas que devem ser ajustadas para alcançá-la.

Implementando esse procedimento no manipulador, chega-se aos seguintes resultados:

$$\begin{aligned} {}^0 A_3 &= \begin{bmatrix} C_1 C_2 - S_1 S_2 & S_1 C_2 + S_2 C_1 & 0 & L_2(C_1 C_2 - S_1 S_2) + L_1 C_1 \\ S_1 C_2 + S_2 C_1 & S_1 S_2 - C_1 C_2 & 0 & L_2(S_1 C_2 + S_2 C_1) + L_1 S_1 \\ 0 & 0 & -1 & -d_3 \\ 0 & 0 & 0 & 1 \end{bmatrix} \\ \begin{cases} p_x = L_2 \cos(\theta_1 + \theta_2) + L_1 \cos \theta_1 \\ p_y = L_2 \sin(\theta_1 + \theta_2) + L_1 \sin \theta_1 \\ p_z = -d_3 \end{cases} &\quad d_3 = -p_z \\ n = \sqrt{p_x^2 + p_y^2} &\Rightarrow n^2 = p_x^2 + p_y^2 = (L_1 \cos \theta_1 + L_2 \cos(\theta_1 + \theta_2))^2 + (L_1 \sin \theta_1 + L_2 \sin(\theta_1 + \theta_2))^2 \\ n^2 &= L_1^2 + L_2^2 + 2L_1 L_2 \cos \theta_2 \\ \cos \theta_2 &= \frac{n^2 - L_1^2 - L_2^2}{2L_1 L_2} \\ \theta_2 &= \tan^{-1} \left(\frac{\pm \sqrt{1 - \cos^2 \theta_2}}{\cos \theta_2} \right) \\ \text{Após obter } \theta_2, \text{ usamos a fórmula padrão de um problema 2R planar} \\ \theta_1 &= \tan^{-1} \left(\frac{p_y}{p_x} \right) - \tan^{-1} \left(\frac{L_2 \sin \theta_2}{L_1 + L_2 \cos \theta_2} \right) \end{aligned}$$

Figura 5: Cinemática inversa final obtida para o manipulador.

3.1.3 Jacobiano

O Jacobiano é uma matriz utilizada na modelagem de manipuladores que relaciona diretamente as velocidades articulares com as velocidades lineares e angulares do end-effector. Enquanto a cinemática direta determina a posição do end-effector a partir das variáveis articulares, o Jacobiano descreve como variações instantâneas nos ângulos e deslocamentos das juntas afetam o movimento no espaço cartesiano. Essa relação é utilizada principalmente no controle de velocidade, na análise de singularidades e no planejamento de trajetórias.

Para um manipulador com n graus de liberdade, a relação entre as velocidades articulares \dot{q} e a velocidade cartesiana do end-effector \dot{x} é dada por:

$$\dot{x} = J(q) \oplus \dot{q}$$

onde:

- \dot{x} é o vetor de velocidades linear e angular do end-effector;
- \dot{q} é o vetor de velocidades das juntas;
- $J(q)$ é a matriz Jacobiana.

Para juntas rotacionais e prismáticas, utilizam-se expressões específicas. Se a junta i for rotacional:

$$J_{Li} = b_{i-1} \times (r_n - r_{i-1})$$

$$J_{Ai} = b_{i-1}$$

Se a junta i for prismática:

$$J_{Li} = b_{i-1}$$

$$J_{Ai} = 0$$

Assim, o Jacobiano completo assume a forma:

$$J = \begin{bmatrix} J_{L1} & J_{L2} & J_{L3} \\ J_{A1} & J_{A2} & J_{A3} \end{bmatrix}$$

Aplicando o Jacobiano no SOLVER, a sua construção segue diretamente as expressões apresentadas. As duas primeiras colunas da matriz correspondem às juntas rotacionais, enquanto a terceira representa a contribuição da junta prismática.

Cada vetor r_i e b_i é extraído das matrizes de transformação obtidas na cinemática direta. Para manter o padrão utilizado na cinemática direta e inversa, considere que as variáveis l_1 , l_2 , l_3 utilizadas na resolução seguinte equivalem a, respectivamente, 0, l_1 e l_2 .

$$\begin{array}{c}
 \begin{array}{cc}
 {}^0R_1 & r_{0,1} \\
 \begin{array}{|c|c|c|c|} \hline
 l_1 & -s_1 & 0 & l_2 c_1 \\ \hline
 s_1 & c_1 & 0 & l_2 s_1 \\ \hline
 0 & 0 & 1 & l_1 \\ \hline
 0 & 0 & 0 & 1 \\ \hline
 \end{array} &
 \begin{array}{cc}
 {}^1R_2 & r_{1,2} \\
 \begin{array}{|c|c|c|c|} \hline
 l_2 & -s_2 & 0 & l_3 c_2 \\ \hline
 s_2 & c_2 & 0 & l_3 s_2 \\ \hline
 0 & 0 & -1 & 0 \\ \hline
 0 & 0 & 0 & 1 \\ \hline
 \end{array} &
 \end{array} \\
 \hline
 \end{array}$$

$$\begin{array}{c}
 \begin{array}{cc}
 {}^0R_3 & r_{0,3} \\
 \begin{array}{|c|c|c|c|} \hline
 1 & 0 & 0 & 0 \\ \hline
 0 & 1 & 0 & 0 \\ \hline
 0 & 0 & 1 & d_3 \\ \hline
 0 & 0 & 0 & 1 \\ \hline
 \end{array} &
 \end{array} \\
 \hline
 \end{array}$$

$${}^0A_3 = {}^0A_1 \oplus {}^1A_2 \oplus {}^2A_3$$

$$\begin{array}{c}
 \begin{array}{cc}
 {}^0A_3 & \begin{array}{l} C_{12} = \cos(\theta_1 + \theta_2) \\ S_{12} = \sin(\theta_1 + \theta_2) \end{array} \\
 \begin{array}{|c|c|c|c|} \hline
 C_{12} & S_{12} & 0 & l_2 C_{12} + l_3 C_2 \\ \hline
 S_{12} & -C_{12} & 0 & l_2 S_{12} + l_3 S_2 \\ \hline
 0 & 0 & -1 & l_1 - d_3 \\ \hline
 0 & 0 & 0 & 1 \\ \hline
 \end{array} &
 \begin{array}{l} C_{ij} = \cos(\theta_i + \theta_j) \\ S_{ij} = \sin(\theta_i + \theta_j) \end{array} \\
 \end{array} \\
 \hline
 \end{array}$$

$$b_0 = \begin{bmatrix} 0 \\ 0 \\ 1 \end{bmatrix}, \quad b_1 = {}^0R_1 \oplus b_0 = \begin{bmatrix} 0 \\ 0 \\ 1 \end{bmatrix}; \quad b_2 = {}^0R_1 \oplus {}^1R_2 \oplus b_0 = \begin{bmatrix} 0 \\ 0 \\ -1 \end{bmatrix}$$

Figura 6: Encontrando o Jacobiano.

$$\begin{array}{c}
 J_{L1} = b_0 \times r_{0,3} = \begin{bmatrix} -l_2 s_1 - l_3 s_{12} \\ l_2 c_1 + l_3 c_{12} \\ 0 \end{bmatrix} \\
 \hline
 J_{L2} = b_1 \times r_{1,3} = b_1 \times (r_{0,3} - r_{0,1}) = \begin{bmatrix} -l_2 s_{12} \\ l_2 c_{12} \\ 0 \end{bmatrix} \\
 \hline
 J_{L3} = b_2 = \begin{bmatrix} 0 \\ 0 \\ -1 \end{bmatrix} \\
 \hline
 J_{A1} = b_0 = \begin{bmatrix} 0 \\ 0 \\ 1 \end{bmatrix}, \quad J_{A2} = b_1 = \begin{bmatrix} 0 \\ 0 \\ 1 \end{bmatrix}; \quad J_{A3} = \begin{bmatrix} 0 \\ 0 \\ 0 \end{bmatrix} \\
 \hline
 J(q) = \begin{array}{|c|c|c|} \hline
 J_{L1} & J_{L2} & J_{L3} \\ \hline
 J_{A1} & J_{A2} & J_{A3} \\ \hline
 \end{array} = \begin{bmatrix} -l_2 s_1 - l_3 s_{12} & -l_2 s_{12} & 0 \\ l_2 c_1 + l_3 c_{12} & l_3 c_{12} & 0 \\ 0 & 0 & -1 \\ 0 & 0 & 0 \\ 0 & 0 & 0 \\ 1 & 1 & 0 \end{bmatrix}$$

$$\begin{array}{c}
 \begin{array}{c}
 \begin{array}{c}
 v_x \\ v_y \\ v_z \\ w_x \\ w_y \\ w_z
 \end{array} = J(q) \oplus \begin{array}{c}
 \dot{q}_1 \\ \dot{q}_2 \\ \dot{q}_3
 \end{array} = \begin{array}{c}
 \dot{q}_1 (-l_2 s_1 - l_3 s_{12}) + \dot{q}_2 (-l_2 s_{12}) \\ \dot{q}_1 (l_2 c_1 + l_3 c_{12}) + \dot{q}_2 (l_3 c_{12}) \\ -\dot{q}_3 \\ 0 \\ 0 \\ \dot{q}_1 + \dot{q}_2
 \end{array}
 \end{array} \\
 \text{tilibra}
 \end{array}$$

Figura 7: Jacobiano final obtido para o manipulador.

3.1.4 Dinâmica

O modelo dinâmico descreve as forças e torques necessários para produzir um movimento desejado do manipulador, levando em conta suas massas, geometrias, velocidades e acelerações. A formulação dinâmica é expressa pela equação geral de movimento abaixo:

$$M(q) \ddot{q} + C(q, \dot{q}) \dot{q} + G(q) = \tau$$

onde:

- \dot{q} é o vetor das velocidades articulares;
- \ddot{q} é o vetor das acelerações articulares;
- $M(q)$ é a matriz de inércia, que relaciona as acelerações articulares às forças e torques necessários;
- $C(q, \dot{q}) \dot{q}$ são os termos de Coriolis e centrífugos, que surgem devido à movimentação dos elos e às interações dinâmicas entre eles;
- $G(q)$ é o vetor de forças e torques gravitacionais;
- τ é o vetor de torques (ou forças, no caso de juntas prismáticas) aplicados nas juntas.

Para se obter esse modelo, inicia-se descrevendo a energia cinética e potencial de cada elo. Em geral, para um manipulador com n juntas, a energia cinética total é dada por:

$$K = \sum_{i=1}^n \left(\frac{1}{2} m_i v_i^T v_i + \frac{1}{2} \omega_i^T I_i \omega_i \right),$$

onde:

- m_i é a massa do elo i ;
- v_i é a velocidade linear do centro de massa do elo i ;
- $v_i^T v_i$ é o produto interno da velocidade linear, que representa o módulo ao quadrado dessa velocidade;
- ω_i é a velocidade angular do elo i ;
- I_i é o tensor de inércia do elo i em relação ao seu centro de massa;

- $\omega_i^T I_i \omega_i$ é o termo da energia cinética associado à rotação do elo;
- $\sum_{i=1}^n$ indica que a energia cinética total é obtida somando a energia de todos os elos do manipulador.

A energia potencial gravitacional é:

$$P = \sum_{i=1}^n m_i g h_i,$$

sendo h_i a altura do centro de massa. A dinâmica é então obtida aplicando as equações de Euler-Lagrange:

$$\frac{d}{dt} \left(\frac{\partial L}{\partial \dot{q}} \right) - \frac{\partial L}{\partial q} = \tau, \quad L = K - P.$$

A partir dessas derivadas obtém-se explicitamente as expressões para $M(q)$, $C(q, \dot{q})$ e $G(q)$. O termo inercial $M(q)$ relaciona as acelerações articulares às forças necessárias; o termo $C(q, \dot{q})$ capta interações dinâmicas entre os elos; e o vetor $G(q)$ fornece as forças requeridas apenas para compensar o efeito da gravidade. Dessa forma, o modelo completo descreve as exigências dinâmicas do manipulador em qualquer trajetória.

Uma vez obtido o modelo dinâmico, ele foi implementado no SOLVER para calcular as forças e torques necessários durante a execução das trajetórias de limpeza. Os resultados incluem as matrizes de inércia, as velocidades e posições de cada elo e as forças e torques finais aplicados nas juntas. As imagens apresentadas a seguir mostram esses resultados:

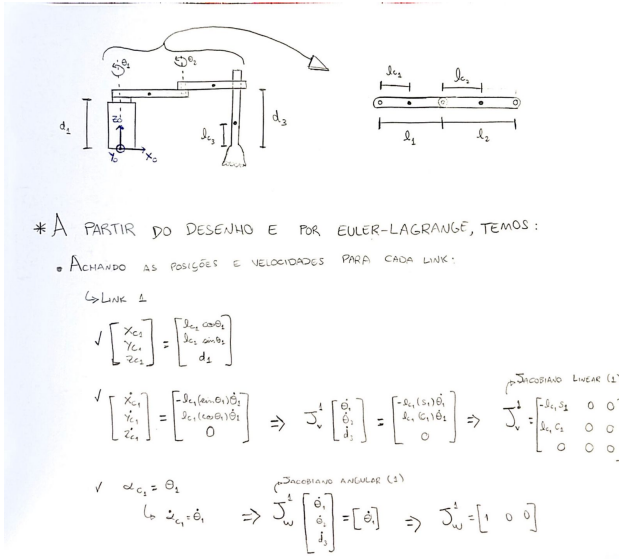


Figura 8: Posições e velocidades do link 1.

$$\begin{aligned}
 & \hookrightarrow L_{link} 2 \\
 \sqrt{\begin{bmatrix} \dot{x}_{c_2} \\ \dot{y}_{c_2} \\ \dot{z}_{c_2} \end{bmatrix}} &= \begin{bmatrix} \ddot{x}_1 c_{\alpha_2}(\theta_1) + \ddot{y}_{c_2} s_{\alpha_2}(\theta_1, \theta_2) \\ \ddot{y}_1 s_{\alpha_2}(\theta_1) + \ddot{x}_{c_2} s_{\alpha_2}(\theta_1, \theta_2) \\ d_1 \end{bmatrix} \\
 \sqrt{\begin{bmatrix} \dot{x}_{c_2} \\ \dot{y}_{c_2} \\ \dot{z}_{c_2} \end{bmatrix}} &= \begin{bmatrix} -\ddot{x}_1 s_{\alpha_2}(\theta_1) - \ddot{y}_{c_2} c_{\alpha_2}(\theta_1, \theta_2)(\dot{\theta}_1, \dot{\theta}_2) \\ \ddot{y}_1 c_{\alpha_2}(\theta_1) + \ddot{x}_{c_2} s_{\alpha_2}(\theta_1, \theta_2)(\dot{\theta}_1, \dot{\theta}_2) \\ 0 \end{bmatrix} \Rightarrow \mathcal{J}_v^2 \begin{bmatrix} \dot{\theta}_1 \\ \dot{\theta}_2 \\ \dot{d}_1 \end{bmatrix} = \begin{bmatrix} -\ddot{x}_1 s_{\alpha_2}(\theta_1, \theta_2)(\dot{\theta}_1, \dot{\theta}_2) \\ \ddot{y}_1 c_{\alpha_2}(\theta_1, \theta_2)(\dot{\theta}_1, \dot{\theta}_2) \\ 0 \end{bmatrix} \\
 & \mathcal{J}_v^2 = \begin{bmatrix} -\ddot{x}_1 s_{\alpha_2}(\theta_1, \theta_2) & -\ddot{y}_{c_2} s_{\alpha_2}(\theta_1, \theta_2) & 0 \\ \ddot{y}_1 c_{\alpha_2}(\theta_1, \theta_2) & \ddot{x}_{c_2} s_{\alpha_2}(\theta_1, \theta_2) & 0 \\ 0 & 0 & 0 \end{bmatrix} \\
 \sqrt{\alpha_{c_2}} &= \theta_1 + \theta_2 \\
 \hookrightarrow \alpha_{c_2} &= \dot{\theta}_1 + \dot{\theta}_2 \Rightarrow \mathcal{J}_\omega^2 \begin{bmatrix} \dot{\theta}_1 \\ \dot{\theta}_2 \\ \dot{d}_1 \end{bmatrix} = \begin{bmatrix} \dot{\theta}_1 + \dot{\theta}_2 \\ 0 \\ 0 \end{bmatrix} \Rightarrow \mathcal{J}_\omega^2 = \begin{bmatrix} 1 & 1 & 0 \end{bmatrix}
 \end{aligned}$$

Figura 9: Posições e velocidades do link 2.

$$\begin{aligned}
 & \hookrightarrow L_{link} 3 \\
 \sqrt{\begin{bmatrix} \dot{x}_{c_3} \\ \dot{y}_{c_3} \\ \dot{z}_{c_3} \end{bmatrix}} &= \begin{bmatrix} \ddot{x}_1 c_{\alpha_3}(\theta_1) + \ddot{y}_2 c_{\alpha_3}(\theta_1, \theta_2) \\ \ddot{y}_1 s_{\alpha_3}(\theta_1) + \ddot{x}_{c_3} s_{\alpha_3}(\theta_1, \theta_2) \\ d_1 + \ddot{d}_2 - \ddot{d}_3 \end{bmatrix} \\
 \sqrt{\begin{bmatrix} \dot{x}_{c_3} \\ \dot{y}_{c_3} \\ \dot{z}_{c_3} \end{bmatrix}} &= \begin{bmatrix} -\ddot{x}_1 s_{\alpha_3}(\theta_1) - \ddot{y}_2 s_{\alpha_3}(\theta_1, \theta_2)(\dot{\theta}_1, \dot{\theta}_2) \\ \ddot{y}_1 c_{\alpha_3}(\theta_1) + \ddot{x}_{c_3} c_{\alpha_3}(\theta_1, \theta_2)(\dot{\theta}_1, \dot{\theta}_2) \\ -\ddot{d}_3 \end{bmatrix} \Rightarrow \mathcal{J}_v^3 \begin{bmatrix} \dot{\theta}_1 \\ \dot{\theta}_2 \\ \dot{d}_3 \end{bmatrix} = \begin{bmatrix} -\ddot{x}_1 s_{\alpha_3}(\theta_1, \theta_2)(\dot{\theta}_1, \dot{\theta}_2) \\ \ddot{y}_1 c_{\alpha_3}(\theta_1, \theta_2)(\dot{\theta}_1, \dot{\theta}_2) \\ -\ddot{d}_3 \end{bmatrix} \\
 & \mathcal{J}_v^3 = \begin{bmatrix} -\ddot{x}_1 s_{\alpha_3}(\theta_1, \theta_2) & -\ddot{y}_2 s_{\alpha_3}(\theta_1, \theta_2) & 0 \\ \ddot{y}_1 c_{\alpha_3}(\theta_1, \theta_2) & \ddot{x}_{c_3} s_{\alpha_3}(\theta_1, \theta_2) & 0 \\ 0 & 0 & -1 \end{bmatrix} \\
 \sqrt{\alpha_{c_3}} &= \theta_1 + \theta_2 \\
 \hookrightarrow \alpha_{c_3} &= \dot{\theta}_1 + \dot{\theta}_2 \Rightarrow \mathcal{J}_\omega^3 \begin{bmatrix} \dot{\theta}_1 \\ \dot{\theta}_2 \\ \dot{d}_3 \end{bmatrix} = \begin{bmatrix} \dot{\theta}_1 + \dot{\theta}_2 \\ 0 \\ 0 \end{bmatrix} \Rightarrow \mathcal{J}_\omega^3 = \begin{bmatrix} 1 & 1 & 0 \end{bmatrix}
 \end{aligned}$$

Figura 10: Posições e velocidades do link 3.

$$\begin{aligned}
 * & \text{MATRIZ DE INÉRCIA} \\
 M &= \sum_{i=1}^3 (m_i \mathcal{J}_v^i \cdot \mathcal{J}_v^i + \mathcal{J}_\omega^i \cdot \mathcal{J}_\omega^i) \\
 M_1 &= m_1 \begin{bmatrix} \ddot{x}_1^2 & 0 & 0 \\ 0 & \ddot{y}_1^2 & 0 \\ 0 & 0 & 0 \end{bmatrix} + \begin{bmatrix} I_1 & 0 & 0 \\ 0 & 0 & 0 \\ 0 & 0 & 0 \end{bmatrix} \\
 M_2 &= m_2 \begin{bmatrix} \ddot{x}_1^2 + \ddot{y}_2^2 + 2\ddot{y}_1\ddot{y}_2 c_{\alpha_2} & \ddot{y}_2 \ddot{x}_1 + \ddot{x}_2 \ddot{y}_1 c_{\alpha_2} & 0 \\ \ddot{x}_2 \ddot{y}_1 + \ddot{x}_1 \ddot{y}_2 c_{\alpha_2} & \ddot{y}_1^2 & 0 \\ 0 & 0 & 0 \end{bmatrix} + \begin{bmatrix} I_{e_1} & I_{e_2} & 0 \\ I_{e_2} & I_{e_1} & 0 \\ 0 & 0 & 0 \end{bmatrix} \\
 M_3 &= m_3 \begin{bmatrix} \ddot{x}_1^2 + \ddot{y}_2^2 + 2\ddot{y}_1\ddot{y}_2 c_{\alpha_3} & \ddot{y}_2 \ddot{x}_1 + \ddot{x}_3 \ddot{y}_2 c_{\alpha_3} & 0 \\ \ddot{x}_3 \ddot{y}_2 + \ddot{x}_2 \ddot{y}_3 c_{\alpha_3} & \ddot{y}_2^2 & 0 \\ 0 & 0 & 0 \end{bmatrix} + \begin{bmatrix} I_{e_3} & I_{e_2} & 0 \\ I_{e_2} & I_{e_3} & 0 \\ 0 & 0 & 0 \end{bmatrix}
 \end{aligned}$$

Figura 11: Encontrando a matriz de inércia.

ASSIM TEMOS:

$$M = M_1 + M_2 + M_3$$

E CONSIDERANDO

$$M = \begin{bmatrix} a & d & g \\ b & e & h \\ c & f & i \end{bmatrix}$$

$$\begin{aligned} a &= m_1 l_{c_1}^2 + m_2 (l_{c_1}^2 + l_{c_2}^2 + l l_1 l_2 c_2) + m_3 (l_{c_1}^2 + l_{c_2}^2 + l l_1 l_2 c_2) + I_1 + I_2 + I_3 \\ b &= d = m_2 (l_{c_1}^2 + l_{c_2}^2 + l l_1 l_2 c_2) + m_3 (l_{c_1}^2 + l_{c_2}^2 + l l_1 l_2 c_2) + I_2 + I_3 \\ c &= 0 \\ e &= m_2 l_{c_2}^2 + m_3 l_{c_2}^2 + I_2 + I_3 \\ f &= 0 \\ g &= 0 \\ h &= 0 \\ i &= m_3 \end{aligned}$$

Figura 12: Matriz de inércia.

ENTÃO, TEMOS QUE:

$$M \begin{bmatrix} \ddot{\theta}_1 \\ \ddot{\theta}_2 \\ \ddot{\theta}_3 \end{bmatrix} + \begin{bmatrix} 0 \\ 0 \\ -m_3 g \end{bmatrix} = \begin{bmatrix} T_1 \\ T_2 \\ F_3 \end{bmatrix}$$

$$\begin{cases} a \ddot{\theta}_1 + d \ddot{\theta}_2 + g \ddot{\theta}_3 = T_1 \\ b \ddot{\theta}_1 + e \ddot{\theta}_2 + h \ddot{\theta}_3 = T_2 \\ c \ddot{\theta}_1 + f \ddot{\theta}_2 + i \ddot{\theta}_3 = F_3 + m_3 g \end{cases}$$

RESOLVENDO, CHEGAMOS EM:

$$\begin{aligned} T_1 &= [m_1 l_{c_1}^2 + m_2 (l_{c_1}^2 + l_{c_2}^2 + l l_1 l_2 c_2) + m_3 (l_{c_1}^2 + l_{c_2}^2 + l l_1 l_2 c_2) + I_1 + I_2 + I_3] \cdot \ddot{\theta}_1 + \\ &\quad [m_2 (l_{c_1}^2 + l_{c_2}^2 + l l_1 l_2 c_2) + m_3 (l_{c_1}^2 + l_{c_2}^2 + l l_1 l_2 c_2) + I_2 + I_3] \cdot \ddot{\theta}_2 \\ T_2 &= [m_2 (l_{c_1}^2 + l_{c_2}^2 + l l_1 l_2 c_2) + m_3 (l_{c_1}^2 + l_{c_2}^2 + l l_1 l_2 c_2) + I_2 + I_3] \cdot \ddot{\theta}_1 + (m_1 l_{c_1}^2 + m_3 l_{c_1}^2 + I_1 + I_3) \cdot \ddot{\theta}_2 \\ F_3 &= m_3 \ddot{\theta}_3 - m_3 g \end{aligned}$$

Figura 13: Forças e torques finais.

3.2 Projeto mecânico (CAD)

O projeto mecânico do SOLVER foi desenvolvido em ambiente CAD com o objetivo de representar sua estrutura física e verificar a compatibilidade entre os elementos definidos na modelagem matemática. O modelo tridimensional permitiu avaliar dimensões, movimentos das juntas e o espaço necessário para acoplamento ao rover.

A base do manipulador foi modelada para fixação ao chassi do veículo. As duas juntas rotacionais foram posicionadas conforme os graus de liberdade definidos, garantindo o alcance necessário para atuar sobre a superfície dos painéis solares. O primeiro elo foi dimensionado para permitir o deslocamento horizontal inicial, enquanto o segundo elo complementa esse alcance. A junta prismática foi representada por um trilho linear alinhado ao eixo da escova, responsável pelo movimento de aproximação e afastamento do end-effector, que foi modelado com um suporte destinado à escova rotativa.

As Figuras 14 e 15 apresentam o manipulador completo no ambiente CAD.

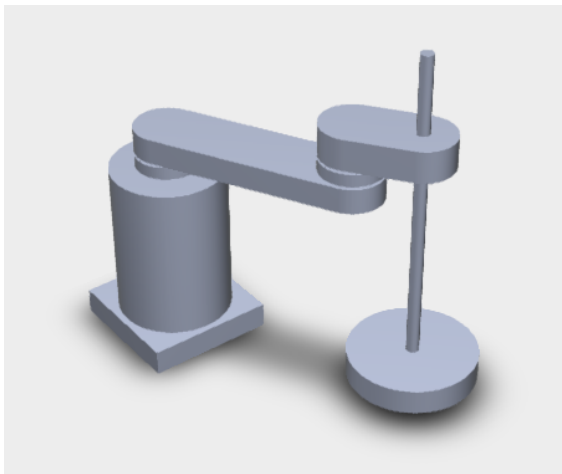


Figura 14: Imagem 1 do CAD do manipulador.



Figura 15: Imagem 2 do CAD do manipulador.

3.3 Simulação computacional

A simulação computacional do manipulador SOLVER (Anexo 1) foi desenvolvida em ambiente Python com o objetivo de validar os modelos cinemático e dinâmico apresentados anteriormente, bem como analisar o comportamento do manipulador durante a execução de trajetórias representativas da tarefa de limpeza de painéis solares. Para isso, foi utilizada a *Robotics Toolbox for Python*, em conjunto com as bibliotecas *NumPy* e *Matplotlib*, permitindo a integração entre modelagem matemática, cálculo dinâmico e visualização gráfica.

A caracterização computacional do manipulador é realizada a partir da definição de seus parâmetros geométricos e físicos. O robô possui uma arquitetura do tipo RRP e os parâmetros de Denavit–Hartenberg são definidos no código conforme a geometria estabelecida no projeto mecânico, permitindo a construção do modelo cinemático consistente com o manipulador real.

Além dos parâmetros DH, são atribuídas propriedades físicas a cada elo, como massa, posição do centro de massa e tensor de inércia. As massas são estimadas considerando densidade uniforme do alumínio e os elos são aproximados como paralelepípedos, o que possibilita o cálculo analítico dos momentos e produtos de inércia.

A cinemática direta é implementada computacionalmente a partir da multiplicação das matrizes de transformação homogênea correspondentes a cada junta do manipulador. No código, essa implementação permite calcular a pose final do end-effector para um dado conjunto de variáveis articulares, retornando explicitamente a matriz de transformação do sistema da base até a extremidade do robô.

Para fins de simulação, valores iniciais e finais das juntas são definidos, e o movimento entre essas configurações é interpolado por meio de uma trajetória suave no espaço das juntas. A simulação permite observar a evolução temporal da posição do end-effector, bem como a animação do manipulador executando o movimento correspondente à cinemática direta.

A cinemática inversa é utilizada para determinar os valores das variáveis articulares necessários para que o end-effector alcance uma posição cartesiana desejada. No código, essa etapa é implementada de forma analítica, explorando a geometria do manipulador RRP e resultando em expressões fechadas para o cálculo das juntas rotacionais e da junta prismática.

Na simulação, o usuário fornece um ponto no espaço cartesiano, e o algoritmo calcula automaticamente os valores correspondentes das juntas. Em seguida, é realizada uma simulação temporal que leva o manipulador da configuração atual até a nova configuração calculada, novamente utilizando interpolação suave no espaço das juntas.

Para representar a aplicação real do manipulador, foi implementado o planejamento de uma trajetória de escovação diretamente no espaço cartesiano. Nessa abordagem, são definidos pontos estratégicos que representam a posição inicial, a aproximação ao painel e o movimento repetitivo da escova ao longo da superfície a ser limpa.

A interpolação entre esses pontos é realizada por meio de um polinômio de quinto grau, garantindo continuidade de posição, velocidade e aceleração ao longo da trajetória. A cada ponto da trajetória cartesiana, a cinemática inversa é utilizada para obter as variáveis articulares correspondentes, permitindo que o manipulador execute o movimento desejado.

A partir das trajetórias geradas, tanto no espaço das juntas quanto no espaço cartesiano, são calculadas as grandezas dinâmicas associadas ao movimento do manipulador. Utilizando as posições, velocidades e acelerações articulares, o código aplica o algoritmo de dinâmica inversa de Newton–Euler para determinar os torques nas juntas rotacionais e a força na junta prismática ao longo do tempo.

Os gráficos gerados sintetizam essas informações e permitem uma análise das exigências dinâmicas durante a execução das trajetórias simuladas.

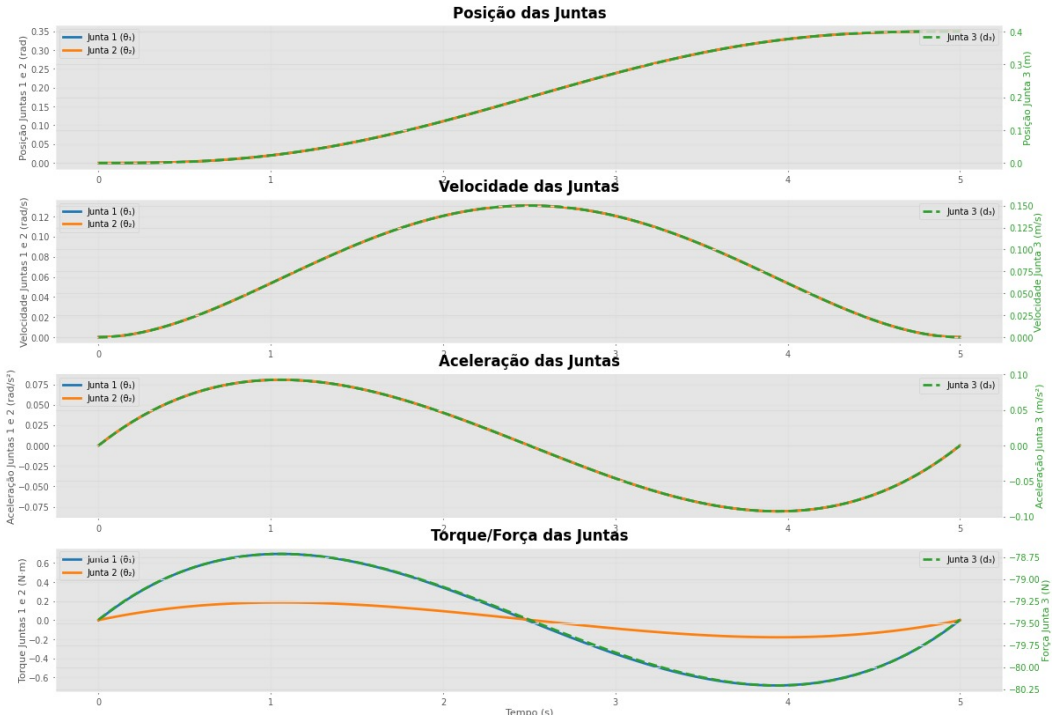


Figura 16: Perfis de posição, velocidade, aceleração e torque/força das juntas da cinemática direta até a posição [20° 20° 0.4].

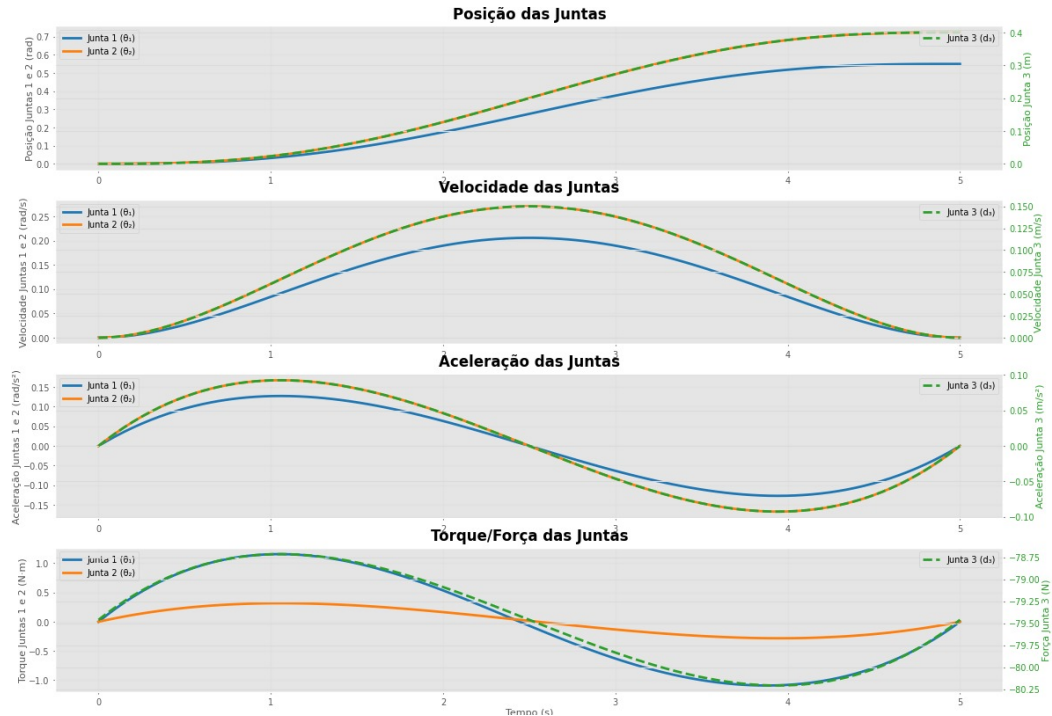


Figura 17: Perfis de posição, velocidade, aceleração e torque/força das juntas da cinemática inversa até a posição [0.4 0.4 -0.4].

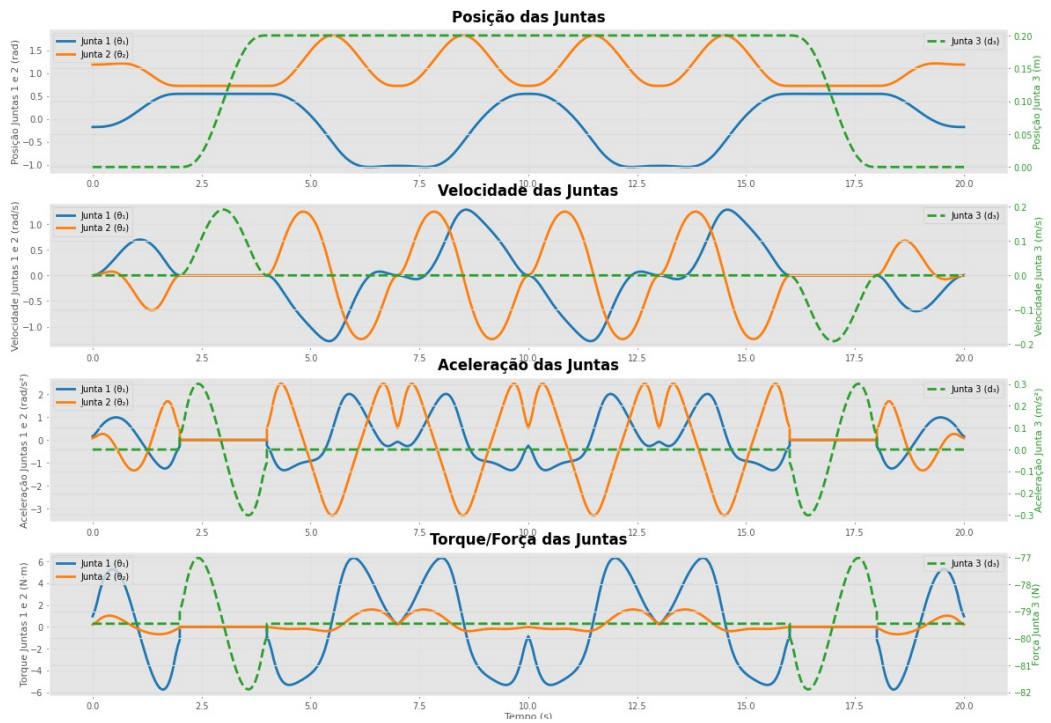


Figura 18: Perfis de posição, velocidade, aceleração e torque/força das juntas da trajetória de escovação.

O código e os arquivos utilizados neste trabalho estão disponíveis no repositório a seguir: <https://github.com/AmandaHellen84/Manipulador-SOLVER>

4 CONCLUSÃO

O desenvolvimento do manipulador SOLVER permitiu integrar modelagem matemática, projeto mecânico e simulação em um único sistema aplicado à limpeza de painéis solares. A modelagem cinemática e dinâmica forneceu as equações necessárias para prever o comportamento do manipulador e orientar as decisões de projeto. O modelo CAD complementou essa etapa ao representar a estrutura física e verificar a viabilidade dos movimentos definidos.

As simulações possibilitaram analisar o desempenho do manipulador em diferentes condições e confirmar a coerência entre os modelos teóricos e o projeto mecânico. O conjunto final apresenta uma solução funcional para posicionamento e acionamento da escova utilizada no processo de limpeza. O trabalho estabeleceu uma base consistente para futuras melhorias, como o detalhamento de componentes e a implementação do controle, seguidas posteriormente pela construção e montagem física do manipulador.

5 REFERÊNCIAS BIBLIOGRÁFICAS

- [1] Almeida, Rynaldo. *Modelagem Dinâmica e Controle de Robô Manipulador de Arquitetura Paralela Assimétrica de Três Graus de Liberdade*. Tese (Doutorado) — Universidade de São Paulo, 2014. Disponível em: https://www.teses.usp.br/teses/disponiveis/3/3151/tde-19092014-113652/publico/Tese_Rynaldo_Almeida.pdf. Acesso em: nov. 2025.
- [2] Souza Júnior, Valdir de. *Modelagem Dinâmica e Estática do Braço Robótico UR5*. Universidade Federal de Alagoas. Disponível em: <http://www.repositorio.ufal.br/jspui/handle/123456789/9735>. Acesso em: nov. 2025.
- [3] Peter Corke – Robotics Toolbox. *Documentação traduzida*. Disponível em: <https://translate.google.com/translate?u=https://petercorke.com/toolboxes/robotics-toolbox/&hl=pt&sl=en&tl=pt&client=srp>. Acesso em: nov. 2025.
- [4] Fetter. *Jacobian — notas de aula*. Universidade Federal do Rio Grande do Sul. Disponível em: <http://www.ece.ufrgs.br/~fetter/eng10026/jacobian.pdf>. Acesso em: nov. 2025.
- [5] Lima, Élton Franklin Silva de; Nascimento, Ian Ribeiro; Soares, Fábio Guilherme de Andrade; Souza, Valdenio João Francisco José Lima de; Sena, Alexander Patrick Chaves de. *Modelagem Cinemática Inversa e Simulação de Controle de Manipuladores Robóticos com 3 a 5 Graus de Liberdade*. Disponível em: <https://smart.institutoidv.org/2024/pdvg/uploads/1008.pdf>. Acesso em: nov. 2025.

ANEXO 1 - Código-fonte do manipulador SOLVER

```

1 import roboticstoolbox as rtb
2 import numpy as np
3 from math import cos, sin, atan2, acos, sqrt, pi
4 import matplotlib.pyplot as plt
5 import time
6
7 class RRP:
8     def __init__(self):
9         l1 = 0.4 #400mm
10        l2 = 0.5*l1
11        l3 = 1.25*l1
12
13        self.a1 = l1; self.a2 = l2; self.a3 = 0
14        self.alpha1 = 0; self.alpha2 = np.pi; self.alpha3 = 0
15        self.d1 = 0; self.d2 = 0; self.d3 = 0
16        self.theta1 = 0; self.theta2 = 0; self.theta3 = 0
17
18        w = l1*0.25
19        h = l1*0.15
20
21        w3 = l1/20
22        h3 = l2/20
23
24        #considerando densidade do al minio
25        m1 = 2700*l1*w*h
26        m2 = 2700*l2*w*h
27        m3 = 2700*l3*w*h
28
29        #Aproximando para paralelep pedos
30        Ixx1 = (1/12)*m1*(pow(h,2)+pow(w,2))
31        Iyy1 = (1/12)*m1*(pow(h,2)+pow(l1,2))
32        Izz1 = (1/12)*m1*(pow(l1,2)+pow(w,2))
33
34        Ixx2 = (1/12)*m2*(pow(h,2)+pow(w,2))
35        Iyy2 = (1/12)*m2*(pow(h,2)+pow(l2,2))
36        Izz2 = (1/12)*m2*(pow(l2,2)+pow(w,2))
37
38        Ixx3 = (1/12)*m2*(pow(l3,2)+pow(w3,2))
39        Iyy3 = (1/12)*m2*(pow(l3,2)+pow(h3,2))
40        Izz3 = (1/12)*m2*(pow(h3,2)+pow(w3,2))
41
42        self.robot = rtb.DHRobot([
43            rtb.RevoluteDH(d=self.d1, a=self.a1, alpha=self.alpha1,
44            offset=self.theta1, m=m1, r=[l1/2,0,0], I=np.diag([Ixx1, Iyy1,
45            Izz1])),
46            rtb.RevoluteDH(d=self.d2, a=self.a2, alpha=self.alpha2,
47            offset=self.theta2, m=m2, r=[l2/2,0,0], I=np.diag([Ixx2, Iyy2,
48            Izz2])),
49            rtb.PrismaticDH(theta=self.theta3, a=self.a3, alpha=self.
50            alpha3, offset=self.d3, m=m3, r=[0,0,l3/2], I=np.diag([Ixx3, Iyy3,
51            Izz3]))
52        ])
53
54        # para visualizar a declara o do manipulador
55        print(self.robot)

```

```

51     def cinematica_direta(self, q):
52
53         theta1, theta2, d3 = q
54
55         T01 = np.array([
56             [cos(theta1), -sin(theta1)*cos(self.alpha1), sin(theta1)*
57             sin(self.alpha1), self.a1*cos(theta1)],
58             [sin(theta1), cos(theta1)*cos(self.alpha1), -cos(theta1)*
59             sin(self.alpha1), self.a1*sin(theta1)],
60             [0, sin(self.alpha1), cos(self.alpha1), self.d1],
61             [0, 0, 0, 1]
62         ])
63
64         T12 = np.array([
65             [cos(theta2), -sin(theta2)*cos(self.alpha2), sin(theta2)*
66             sin(self.alpha2), self.a2*cos(theta2)],
67             [sin(theta2), cos(theta2)*cos(self.alpha2), -cos(theta2)*
68             sin(self.alpha2), self.a2*sin(theta2)],
69             [0, sin(self.alpha2), cos(self.alpha2), self.d2],
70             [0, 0, 0, 1]
71         ])
72
73         T23 = np.array([
74             [cos(self.theta3), -sin(self.theta3)*cos(self.alpha3), sin(
75             self.theta3)*sin(self.alpha3), self.a3*cos(self.theta3)],
76             [sin(self.theta3), cos(self.theta3)*cos(self.alpha3), -cos(
77             self.theta3)*sin(self.alpha3), self.a3*sin(self.theta3)],
78             [0, sin(self.alpha3), cos(self.alpha3), d3],
79             [0, 0, 0, 1]
80         ])
81
82         T03 = T01 @ T12 @ T23
83
84         return T03
85
86     def cinematica_inversa(self, p):
87
88         x, y, z = p
89
90         # junta 3 (prism tica)
91         q3 = -z
92
93         # junta 2
94         c2 = (x**2 + y**2 - self.a1**2 - self.a2**2) / (2*self.a1*self.
95         .a2)
96         c2 = np.clip(c2, -1, 1)
97
98         s2 = sqrt(1 - c2**2)
99         theta2 = atan2(s2, c2) # solu o cotovelo para cima
100        # theta2 = atan2(-s2, c2) # alternativa cotovelo para baixo
101
102        # junta 1
103        k1 = self.a1 + self.a2*cos(theta2)
104        k2 = self.a2*sin(theta2)
105
106        theta1 = atan2(y, x) - atan2(k2, k1)
107
108        return np.array([theta1, theta2, q3])

```

```

102
103
104     # Calculo da trajetoria no espaço das juntas (Para a simulação
105     # da cinemática direta e inversa)
106     def trajetoria_simulacao(self, q_i, q_f):
107         # Posições inicial e final
108         q_start = q_i
109         q_end = q_f
110
111         # Tempo de simulação e dt
112         time_s = 5.0
113         dt = 0.05
114         steps = int(time_s / dt)
115
116         # Vetor de tempo
117         t = np.linspace(0, time_s, steps)
118
119         # Trajetória polinomial de 5 graus
120         traj = rtb.jtraj(q_start, q_end, t)
121
122         # Calcular torques usando dinâmica inversa
123         tau = self._calcular_torques(traj.q, traj.qd, traj.qdd)
124
125         # Plotar gráficos
126         self._plotar_graficos(t, traj.q, traj.qd, traj.qdd, tau)
127
128         # Animar trajetória
129         self.robot.plot(traj.q, backend="pyplot", dt=dt, block=False)
130
131         return 0
132
133     # Calculo da trajetória no espaço cartesiano (Para a simulação
134     # da trajetória de escovação)
135     def trajetoria_cartesiana(self, p_start, p_end, time_segment, dt):
136         steps = int(time_segment / dt)
137         t = np.linspace(0, time_segment, steps)
138
139         tau = t / time_segment
140         s = 10*tau**3 - 15*tau**4 + 6*tau**5
141
142         p_traj = np.zeros((steps, 3))
143         for i in range(3):
144             p_traj[:, i] = p_start[i] + s * (p_end[i] - p_start[i])
145
146         q = np.zeros((steps, 3))
147         for k in range(steps):
148             q[k, :] = self.cinemática_inversa(p_traj[k, :])
149
150         qd = np.gradient(q, dt, axis=0, edge_order=2)
151         qdd = np.gradient(qd, dt, axis=0, edge_order=2)
152
153         self.q_all.append(q)
154         self.qd_all.append(qd)
155         self.qdd_all.append(qdd)
156         self.t_all.append(t + self.t_acc)
157         self.t_acc += t[-1]

```

```

158     def trajetoria_escovacao(self):
159         print("\n" + "="*60)
160         print("INICIANDO TRAJET RIA")
161         print("=="*60)
162
163         # Definir pontos da trajet ria (x, y, z)
164         p_home = np.array([0.5, 0.1, 0.0])
165         p_above = np.array([0.4, 0.4, 0.0])
166         p_brush1 = np.array([0.4, 0.4, -0.2])
167         p_brush2 = np.array([0.4, -0.4, -0.2])
168
169         # Par metros de tempo
170         dt = 0.05
171         time_segment = 2
172
173         # Armazenar trajet ria completa
174         self.q_all = []
175         self.qd_all = []
176         self.qdd_all = []
177         self.t_all = []
178         self.t_acc = 0
179
180         # Montando a trajet ria
181         self.trajetoria_cartesiana(p_home, p_above, time_segment, dt)
182         self.trajetoria_cartesiana(p_above, p_brush1, time_segment, dt)
183     )
184         self.trajetoria_cartesiana(p_brush1, p_brush2, 3, dt)
185         self.trajetoria_cartesiana(p_brush2, p_brush1, 3, dt)
186         self.trajetoria_cartesiana(p_brush1, p_brush2, 3, dt)
187         self.trajetoria_cartesiana(p_brush2, p_brush1, 3, dt)
188         self.trajetoria_cartesiana(p_brush1, p_above, time_segment, dt)
189     )
190         self.trajetoria_cartesiana(p_above, p_home, time_segment, dt)
191
192         # Concatenar todos os segmentos
193         q_total = np.vstack(self.q_all)
194         qd_total = np.vstack(self.qd_all)
195         qdd_total = np.vstack(self.qdd_all)
196         t_total = np.concatenate(self.t_all)
197
198         # Calcular torques usando din mica inversa
199         tau = self._calcular_torques(q_total, qd_total, qdd_total)
200
201         # Plotar gr ficos
202         self._plotar_graficos(t_total, q_total, qd_total, qdd_total,
203                               tau)
204
205         # Animar trajet ria
206         print("\nAnimando trajet ria...")
207         self.robot.plot(q_total, backend="pyplot", dt=dt, block=False)
208
209         return q_total, qd_total, qdd_total, t_total
210
211     def _calcular_torques(self, q, qd, qdd):
212         n_points = q.shape[0]
213         tau = np.zeros((n_points, 3))

```

```

213     for i in range(n_points):
214         tau[i, :] = self.robot.rne(q[i, :], qd[i, :], qdd[i, :])
215     return tau
216
217 def _plotar_graficos(self, t, q, qd, qdd, tau):
218     fig, axes = plt.subplots(4, 1, figsize=(12, 12))
219
220     joint_names = ['Junta 1 (       )', 'Junta 2 (       )', 'Junta 3
221 ( d )']
222     colors = ['#1f77b4', '#ff7f0e', '#2ca02c']
223
224     # Gráfico de Posição
225     for i in range(3):
226         if i < 2:
227             axes[0].plot(t, q[:, i], color=colors[i], linewidth=2,
228 label=joint_names[i])
229         else:
230             ax0_twin = axes[0].twinx()
231             ax0_twin.plot(t, q[:, i], color=colors[i], linewidth
232 =2, label=joint_names[i], linestyle='--')
233             ax0_twin.set_ylabel('Posição Junta 3 (m)', fontsize
234 =8, color=colors[i])
235             ax0_twin.tick_params(axis='y', labelcolor=colors[i])
236             ax0_twin.legend(loc='upper right')
237
238         axes[0].set_ylabel('Posição Juntas 1 e 2 (rad)', fontsize=8)
239         axes[0].set_title('Posição das Juntas', fontsize=12,
240 fontweight='bold')
241         axes[0].grid(True, alpha=0.3)
242         axes[0].legend(loc='upper left')
243
244     # Gráfico de Velocidade
245     for i in range(3):
246         if i < 2:
247             axes[1].plot(t, qd[:, i], color=colors[i], linewidth
248 =2, label=joint_names[i])
249         else:
250             ax1_twin = axes[1].twinx()
251             ax1_twin.plot(t, qd[:, i], color=colors[i], linewidth
252 =2, label=joint_names[i], linestyle='--')
253             ax1_twin.set_ylabel('Velocidade Junta 3 (m/s)', fontsize
254 =8, color=colors[i])
255             ax1_twin.tick_params(axis='y', labelcolor=colors[i])
256             ax1_twin.legend(loc='upper right')
257
258         axes[1].set_ylabel('Velocidade Juntas 1 e 2 (rad/s)', fontsize
259 =8)
260         axes[1].set_title('Velocidade das Juntas', fontsize=12,
261 fontweight='bold')
262         axes[1].grid(True, alpha=0.3)
263         axes[1].legend(loc='upper left')
264
265     # Gráfico de Aceleração
266     for i in range(3):
267         if i < 2:
268             axes[2].plot(t, qdd[:, i], color=colors[i], linewidth
269 =2, label=joint_names[i])
270         else:

```

```

260             ax2_twin = axes[2].twinx()
261             ax2_twin.plot(t, qdd[:, i], color=colors[i], linewidth
262 =2, label=joint_names[i], linestyle='--')
263             ax2_twin.set_ylabel('Acelera o Junta 3 (m/s)', fontweight='bold', fontsize=8, color=colors[i])
264             ax2_twin.tick_params(axis='y', labelcolor=colors[i])
265             ax2_twin.legend(loc='upper right')
266
267             axes[2].set_ylabel('Acelera o Juntas 1 e 2 (rad/s)', fontweight='bold', fontsize=8)
268             axes[2].set_title('Acelera o das Juntas', fontweight='bold', fontsize=12)
269             axes[2].grid(True, alpha=0.3)
270             axes[2].legend(loc='upper left')
271
272             # Gráfico de Torque/Força
273             for i in range(3):
274                 if i < 2:
275                     axes[3].plot(t, tau[:, i], color=colors[i], linewidth
276 =2, label=joint_names[i])
277                 else:
278                     ax3_twin = axes[3].twinx()
279                     ax3_twin.plot(t, tau[:, i], color=colors[i], linewidth
280 =2, label=joint_names[i], linestyle='--')
281                     ax3_twin.set_ylabel('Força Junta 3 (N)', fontweight='bold', fontsize=8, color=colors[i])
282                     ax3_twin.tick_params(axis='y', labelcolor=colors[i])
283                     ax3_twin.legend(loc='upper right')
284
285             axes[3].set_xlabel('Tempo (s)', fontweight='bold', fontsize=8)
286             axes[3].set_ylabel('Torque Juntas 1 e 2 (Nm)', fontweight='bold', fontsize=8)
287             axes[3].set_title('Torque/Força das Juntas', fontweight='bold', fontsize=12)
288             plt.tight_layout()
289             plt.show()
290
291
292 Solver = RRP()
293 qi = np.array([0, 0, 0])
294 while True:
295     print("Escolha qual função deseja executar:")
296     escolha = input("cd (Cinematica direta) / ci (Cinematica inversa) / te (Trajetória de escovação) / limpar (voltar a posição [0 0 0]) / s (Sair) \n")
297
298     if escolha == "cd":
299         valores = input("Insira os valores das 3 juntas separados por espaço (rotacionais em graus):")
300         q = [float(x) for x in valores.split()]
301         for i in range(2):
302             q[i] = q[i]*np.pi/180
303         Matriz = Solver.cinematica_direta(q)
304         print(Matriz)
305         Solver.trajetoria_simulacao(qi,q)
306         print(f"Posição final: {Matriz[:3, 3]}")

```

```
307     qi = q
308
309     elif escolha == "ci":
310         valores = input("Insira os valores as coordenadas x y z
separadas por espaço:")
311         p = [float(x) for x in valores.split()]
312         q = Solver.cinematica_inversa(p)
313         Solver.trajetoria_simulacao(qi,q)
314         q_graus = [q[0]*180/np.pi, q[1]*180/np.pi, q[2]]
315         print(f"Posição das juntas: theta1={q_graus[0]:.2f} ,
theta2={q_graus[1]:.2f} , d3={q[2]:.2f}")
316         for i in range(2):
317             q[i] = q_graus[i]*np.pi/180
318         Matriz = Solver.cinematica_direta(q)
319         print(f"Posição final: {Matriz[:3, 3]}")
320         qi = q
321
322     elif escolha == "te":
323         q_traj, qd_traj, qdd_traj, t_traj = Solver.
324         trajetoria_escovacao()
325         qi = q_traj[-1]
326
327     elif escolha == "s":
328         break
329
330     elif escolha == "limpar":
331         qi = np.array([0, 0, 0])
332         Solver.trajetoria_simulacao(qi,qi)
333
334 else:
335     print("ERRO!")
336     print("Digite cd, ci, te ou s")
```